

بررسی اثر افزایش یون نیکل (Ni) بر میزان تخلخل پوشش‌های فسفاته

عبدالله افشار

دانشکده علوم و مهندسی مواد، دانشگاه صنعتی شریف

مهردی یاری و مالک سعیدی

دانشگاه آزاد اسلامی، واحد علوم و تحقیقات

چکیده

در این مقاله به بررسی اثر یون نیکل بر تخلخل های موجود در پوشش فسفاته پرداخته شده است. حمام فسفاته کاری استفاده شده در این تحقیق شامل ۵ gr/lit اکسید روی، ۱۲ mlt/lit اسید فسفریک و ۲ gr/lit نیترات سدیم به عنوان تسریع کننده است. به محلول پایه، غلظت صفر تا ۸ gr/lit یون نیکل به صورت نیترات نیکل افزوده شده و تاثیر آن بررسی گردید. تمام نمونه های فسفاته در دمای ۵۵ °C و به مدت ۲۱۰ ثانیه تهیه شد. مطالعه تخلخل های پوشش به کمک روش الکتروشیمیایی پلاریزاسیون خطی، مطالعه مورفولوژی پوشش توسط میکروسکوپ الکترونی روبشی (SEM) و بررسی فازهای ایجاد شده به وسیله XRD انجام گرفت. نتایج نشان داد که افزایش غلظت نیکل در محلول، باعث کاهش تخلخل پوشش فسفاته می گردد.

کلمات کلیدی: پوشش فسفاته، روی - نیکل، تخلخل، پلاریزاسیون خطی

The study of nickel addition effect on phosphate coating porosity

A. Afshar

Department of Material Science & Engineering of Technology, Sharif University

M. Yari and M. Saeidi

Science and Research Campus, Islamic Azad University

Abstract: In this article, the effect of Ni²⁺ addition was studied on phosphate coating porosities. The phosphating bath in this research was included of 5gr/lit zinc oxide, 12 mlt/lit phosphoric acid and 2gr/lit sodium nitrate as an accelerator. Zero to 8gr/lit nickel nitrate was added to the phosphating bath and the effects were studied. All of the samples were phosphated at 55°C and 210 seconds conditions. Coating porosities were studied by an electrochemical linear polarization method, coating morphology was studied by Scanning Electron Microscopy (SEM) and coating phases were studied by X-Ray Diffraction (XRD). The results were shown that nickel content increasing, causes to porosities decreasing of phosphate coating.

Key words: Phosphate coatings, zinc-nickel, porosity, linear polarization

E-mail of corresponding author (s): malek.saeidi@gmail.com, mehdi_yari@yahoo.com

مقدمه

درشت، کریستال‌های بسیار ریزی رشد می‌کنند [۲ و ۳]. افزایش مقاومت به خوردگی این پوشش‌ها می‌تواند بنا به دلایل زیر رخ بدهد:

الف- شرکت کردن Ni^{2+} در ایجاد کریستال‌های فسفاته که باعث می‌شود ساختار و اندازه آنها بهبود یابد و احتمالاً به عنوان مراکز جوانه زا عمل می‌کند.

ب- تشکیل ترکیبات سطحی حاوی نیکل فراوان در انتهای تخلخل‌ها [۴].

برای اندازه گیری تخلخل پوشش‌های فسفاته روش‌های مختلفی پیشنهاد شده است. یک روش شیمیایی بر اساس تشکیل نقاط آبی رنگ بر روی کاغذ صافی غوطه ور در محلول فری سیانید پتابسیم- کلرید سدیم- ژلاتین (معرف فروکسیل) است که به مدت یک دقیقه روی سطح فسفاته کاری شده قرار داده می‌شود. تعداد نقاط آبی در سانتی‌متر مربع، تعداد تخلخل‌های پوشش را نشان می‌دهد [۵]. تشکیل رسوب مس فلزی از محلول سولفات‌مس- کلرید سدیم و اندازه گیری مقدار رسوب مس با استفاده از میکروپراب الکترونی (EPMA) در نواحی خالی از پوشش؛ از روش‌های دیگر برای اندازه گیری تخلخل است [۶].

Zurilla و Hospadaruk [۱ و ۷] یک روش الکتروشیمیایی برای اندازه گیری تخلخل فولادهای فسفاته شده بر اساس دانسیته جریان احیاء اکسیژن در محلول هیدرکسید سدیم $N/10$ اشباع از $pH=12$ (pH) بیان کردند. از آنجا که واکنش کاتدی اکسیژن در نواحی بدون پوشش رخ می‌دهد، اندازه گیری مقدار دانسیته جریان در یک پتانسیل ثابت (-550mV vs. SCE) تخلخل‌های پوشش را نشان می‌دهد. Kiss و Coll-Palagos [۱] نیز از روش ولتاوی سیکلی برای ارزیابی تخلخل پوشش فسفاته استفاده کردند. در منحنی‌های ولتاوی یک پیک آندی در محدوده $550\text{mV}-950\text{mV}$ مشاهده می‌شود که نشان دهنده اکسیداسیون Fe^{2+} به Fe^{3+} و یا تشکیل ترکیبات کمپلکس

پوشش‌های فسفاته شامل تعدادی بلورهای با اندازه‌های متفاوت می‌باشد که از مراکز جوانه زنی رشد کرده و به هم متصل می‌شوند و نهایتاً سطح را می‌پوشانند. این حالت از رشد در مناطق بین بلورها شکاف و کanal‌هایی به سمت فلز پایه به وجود می‌آورد که به صورت تخلخل ظاهر می‌شود. تخلخل‌ها عمدتاً در حدود $0.5\text{ }\mu\text{m}$ تا $1/5\text{ }\mu\text{m}$ درصد از سطح فسفاته شده را تشکیل می‌دهند. اگرچه تخلخل در پوشش‌های فسفاته مقاومت به خوردگی را کاهش می‌دهد، اما مزایای زیادی هم دارد. در پوشش‌های فسفاته حفره‌ها می‌توانند به عنوان مناطقی برای ذخیره مواد آلی مورد استفاده قرار بگیرد. این می‌تواند برای بهبود چسبندگی رنگ اعمال شده بر روی پوشش‌های فسفاته بسیار موثر باشد. بنابراین کنترل و اندازه گیری تخلخل در پوشش‌های فسفاته ضروری به نظر می‌رسد [۱].

مقدار تخلخل به نوع محلول فسفاته کاری، زمان عملیات و ترکیب شیمیایی پوشش بستگی دارد. عموماً عقیده بر این است که با افزایش ضخامت پوشش، تخلخل کاهش می‌یابد. Zantout و Gabe [۱] ادعای کردند که می‌توان برای دستیابی به یک پوشش با تخلخل کمتر از جریان الکتریکی استفاده کرد. عدم حضور نیتریت سدیم منجر به ایجاد پوششی با تخلخل بالا و ایجاد بلورهای درشت و غیر یکنواخت می‌گردد. ایجاد حباب با استفاده از امواج ماورای صوت، تعداد زیادی مراکز فعلی وجود می‌آورد که باعث افزایش سرعت جوانه زنی می‌شود. به این ترتیب یک پوشش فسفاته با دانه‌بندی ریز و با تخلخل کم حاصل می‌شود [۱].

افزودن یون Ni^{2+} به حمام‌های فسفاته کاری روی با این هدف انجام می‌گیرد تا پوشش‌هایی با اندازه دانه ریزتر ایجاد شود که این باعث چسبن دگی رنگ بهتر، تخلخل پایین‌تر و مقاومت به خوردگی بالاتر می‌شود. به نظر می‌رسد که حضور Ni^{2+} باعث افزایش تعداد محل‌های جوانه‌زنی می‌شود؛ به جای تعداد کمی کریستال

نمونه‌ها قبل از فسفاته کاری به روش غوطه وری، تا سنیاده شماره ۸۰۰ صیقل داده شده و سپس با استن چربی گیری شدند. ابعاد نمونه‌ها $2 \times 5 \text{ cm}^2$ می‌باشد تا آزمایش پلاریزاسیون نیز بر طبق استاندارد ابعادی انجام گیرد. در ساخت محلول فسفاته کاری از مواد شیمیایی با خلوص آزمایشگاهی و آب دو بار تقطیر با هدایت الکتریکی $1/6 \mu\text{s}$ استفاده گردید. محلول فسفاته کاری پایه شامل ۵ gr/lit اکسید روی، ۱۲ mlt/lit اسید فسفریک و ۲ gr/lit نیترات سدیم به عنوان تسریع کننده است. به محلول پایه یون نیکل به صورت نیترات نیکل از غلظت صفر تا ۸ gr/lit افزوده شده و تاثیر آن بررسی گردید. تمام نمونه‌های فسفاته در دمای 95°C و به مدت ۲۱۰ ثانیه تهیه شد. اندازه گیری تخلخل با استفاده از دستگاه پتانسیومتر Princeton Applied EG&G مدل 273A انجام گرفت. سطح تمام نمونه‌ها یک سانتی متر مربع انتخاب شد. محلول آزمایش محلول کلرید سدیم ۰/۰۱ مولار در نظر گرفته شد. غلظت‌های بالاتر اگرچه شرایط آزمون را بهتر می‌کند، اما جریان ناشی از خوردگی را افزایش می‌دهد که باعث بروز خطا در داده‌های به دست آمده می‌شود. اندازه گیری پتانسیل با استفاده از الکترود مرجع کالومل (SCE) انجام گرفت. از یک میله پلاتینی نیز به عنوان الکترود کمکی استفاده شد.

به منظور مطالعه مورفولوژی پوشش‌های تشکیل شده از میکروسکوب الکترونی (SEM) استفاده شد. برای تشخیص ساختار فازهای تشکیل شده در پوشش های فسفاته نیز از منحنی‌های به دست آمده از XRD کمک گرفته شد.

نتایج و بحث

در جدول (۱) و شکل (۱) نتایج به دست آمده از منحنی‌های پلاریزاسیون خطی مشاهده می‌شود. نتایج به دست آمده از منحنی‌های پلاریزاسیون، با جای گذاری در فرمول (۱)، درصد تخلخل را می‌دهد که در جدول (۱) آمده است. منحنی شکل (۲) نیز تغییرات تخلخل با مقدار

در حفره‌ها است. شدت این پیک نشان‌دهنده میزان تخلخل در پوشش‌های فسفاته است. Coll-Palagos Kiss. این پیک را پیک تخلخل نام گذاری کرده‌اند. برای پیش‌بینی مقدار تخلخل می‌توان از ارتفاع پیک یا سطح زیر منحنی پیک آندی استفاده کرد. برای این منظور از روش پلاریزاسیون خطی استفاده می‌شود [۱].

از یک روش ساده، سریع، کارآمد، غیر مخرب و تکرارپذیر برای اندازه گیری تخلخل در پوشش‌های فسفاته استفاده شده است. به این ترتیب پتانسیل با سرعت $0/2 \text{ mV/sec}$ از -50 mv تا $+50 \text{ mv}$ نسبت به پتانسیل مدار باز (O.C.P) جاروب می‌شود [۸]. سپس با استفاده از داده‌های به دست آمده از منحنی پلاریزاسیون خطی مقدار تخلخل بر حسب درصد، از رابطه زیر بدست خواهد آمد:

$$P = \frac{R_{PS}}{R_P} \times 10^{-\frac{\Delta E_{corr}}{\beta_a}}$$

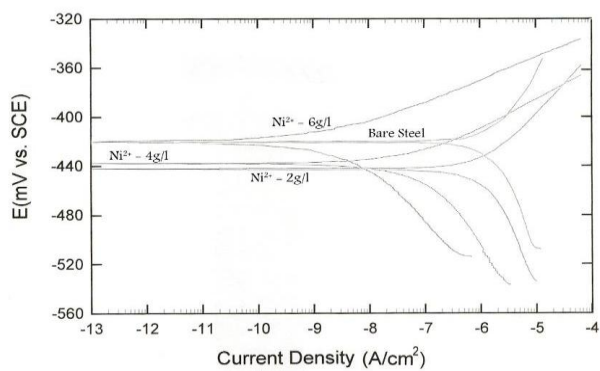
که مقاومت پلاریزاسیون زیرلایه بدون پوشش فسفاته بر حسب $\Omega \cdot \text{cm}^2$ ، R_p مقاومت پلاریزاسیون نمونه با پوشش فسفاته بر حسب $\Omega \cdot \text{cm}^2$ ، ΔE_{corr} اختلاف پتانسیل بین نمونه زیرلایه و نمونه با پوشش فسفاته بر حسب mv ، β_a ضریب تألف آندی نمونه زیرلایه بر حسب mv/decade و P مقدار تخلخل در پوشش فسفاته بر حسب $\%$ می‌باشد [۱۰].

در این تحقیق اثر یون نیکل در میزان تخلخل به وجود آمده با کمک روش فوق و همچنین مورفولوژی تخلخل در پوشش فسفاته با کمک میکروسکوپ الکترونی مورد ارزیابی قرار می‌گیرد.

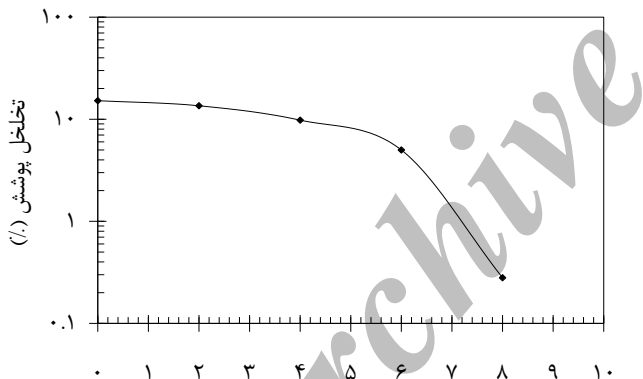
آزمایش ها

در این تحقیق از فولاد فوق کشش St14 که در ساخت بدن خودرو کار برد قابل توجهی دارد، به عنوان زیرلایه برای اعمال پوشش‌های فسفاته استفاده شده است. اعمال یک پوشش فسفاته با شرایط مناسب از نظر مقدار و اندازه تخلخل‌ها، می‌تواند کیفیت لایه رنگ را به طور قابل توجهی ارتقاء دهد.

می‌شود که با افزایش غلظت نیکل در محلول فسفاته کاری، میزان فاز فسفونیکولیت بیشتری تشکیل می‌گردد؛ از سوی دیگر همان طور که قبلاً نیز گفته شد، با افزایش غلظت نیکل در محلول فسفاته کاری، تخلخل پوشش کاهش پیدا می‌کند. پس می‌توان نتیجه گرفت که با افزایش مقدار فاز فسفونیکولیت در پوشش، تخلخل کاهش پیدا می‌کند و به



شکل ۱- نمودار پلاریزاسیون مربوط به فسفاته کاری در غلظت مختلف نیکل در دمای ۵۵°C و زمان ۲۱۰ ثانیه



شکل ۲- تغییرات تخلخل در پوشش فسفاته روی - نیکل با غلظت‌های مختلف نیترات نیکل در محلول

این ترتیب می‌توان گفت فاز فسفونیکولیت یک فاز مطلوب می‌باشد. با توجه به جدول (۲) مشاهده می‌شود که افزایش یون نیکل، باعث می‌شود تا تشکیل فاز هویت که یک فاز نامطلوب در فسفاته کاری می‌باشد، در مقدار معینی باقی بماند و رشد آن متوقف شود.

نتیجه‌گیری

با توجه به آزمایش‌های انجام شده مشاهده می‌شود که با افزایش غلظت نیکل، میزان تخلخل پوشش کاهش می‌یابد؛

نیترات نیکل در محلول فسفاته کاری نیکل را نشان می‌دهد. همان‌طور که ملاحظه می‌شود، با افزایش غلظت نیکل تا 6 gr/l ، مقدار تخلخل با شبیه نسبتاً آهسته ای کاهش می‌یابد. افزایش غلظت نیکل باعث کاهش شدید تخلخل تا $0/2 \text{ A/cm}^2$ درصد می‌شود. تصاویر میکروسکوپ الکترونی از سطح پوشش‌های فسفاته موبایل نتایج به دست آمده است. همان‌طور که در شکل (۳) ملاحظه می‌شود، بعد از ۲۱۰ ثانیه فسفاته کاری، سطح زیرلایه به طور کامل پوشانده نشده است. با افزایش غلظت نیکل، تخلخل پوشش کاهش می‌یابد تا حدی که در غلظت 6 gr/l نیترات نیکل، تقریباً سطح توسط کریستال‌های بسیار ریز و به هم فشرده فسفاته پوشانده شده است. مورفو‌لوزی ساختار پوشش فسفاته به دست آمده نیز جالب توجه است. زمانی که از یون نیکل در محلول فسفاته کاری استفاده نشده است، کریستال‌های فسفاته به شکل مکعبی و غیرپیوسته هستند. این نوع از ساختار توسط سایر مراجع نیز برای فسفاته روی مشاهده شده است. با افزودن نیکل به محلول، بی‌نظمی بیشتری در شکل کریستال‌های فسفاته مشاهده می‌شود. اغلب کریستال‌ها به شکل ورقه ای با اندازه‌های درشت هستند. در بیشترین غلظت از یون نیکل، دانه‌های بسیار ریز از کریستال‌های نیکل در کنار هم قرار گرفته و سطح را کاملاً می‌پوشانند.

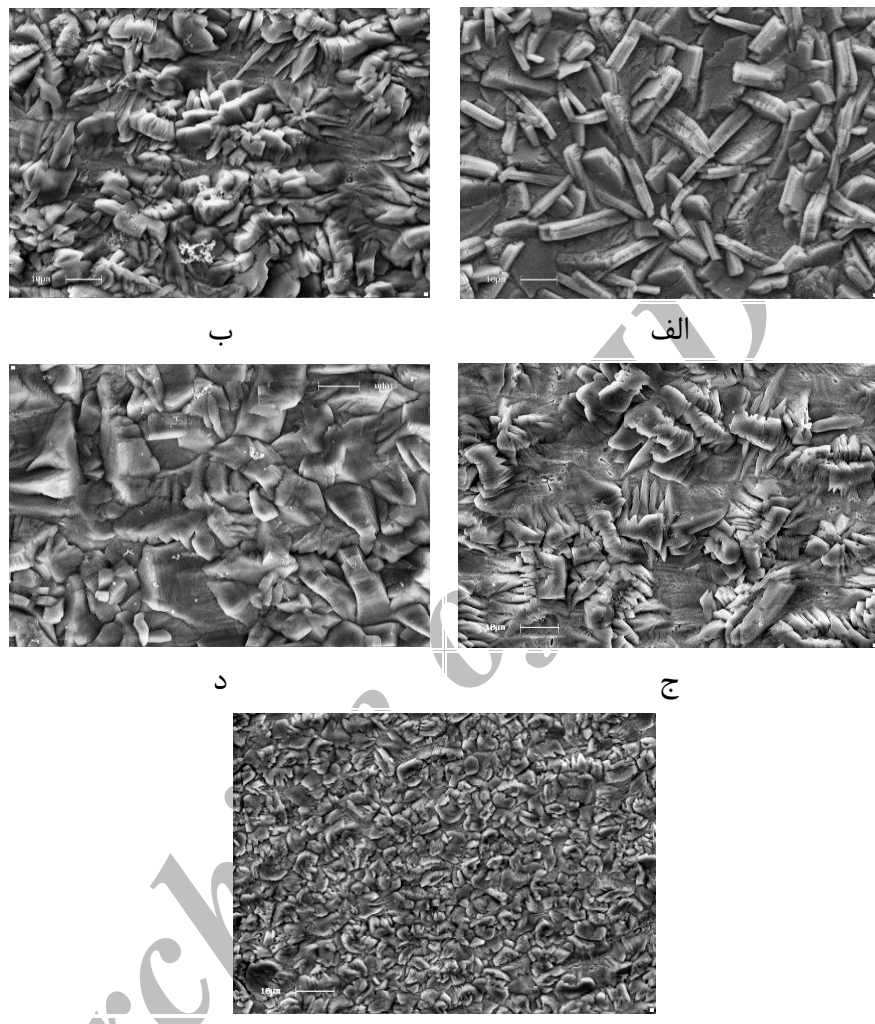
جدول ۱. داده‌های بدست آمده از منحنی‌های پلاریزاسیون خطی

غلظت نیترات نیکل در محلول فسفاته کاری (g/l)	خلخل (%)	$E_{\text{corr.}}$ (mV)	R_p (KΩ)
صفر	۱۵	-۴۲۳	۱۳/۶۲
۲	۱۱/۱	-۴۴۲	۲۱/۰۲
۴	۱۰/۴	-۴۳۷	۲۵/۲۷
۶	۴/۶	-۴۴۸	۴۳/۰۲
۸	۰/۲	-۵۵۷	۷۲/۳۹

در جدول (۲) و شکل (۴) نتایج XRD در غلظت‌های مختلف نیکل آورده شده است. در این جدول مشاهده

نیکل به gr/lit ۸، کاهش شدید تخلخل تا ۰/۲ درصد مشاهده می‌شود. با افزایش غلظت نیکل، فاز فسفونیکولیت

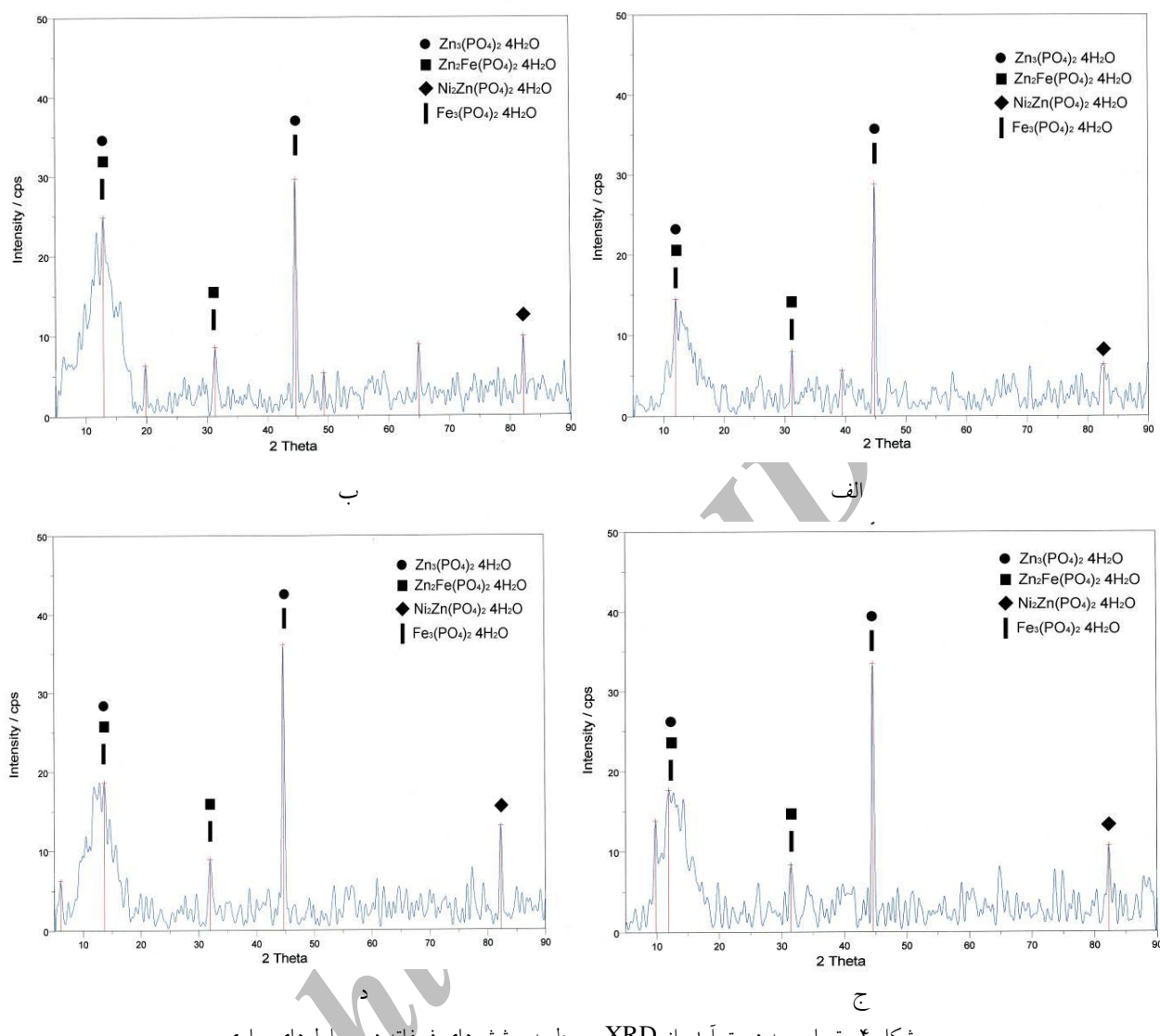
که با افزایش غلظت نیکل تا gr/lit ۶، مقدار تخلخل با شبی نسبتاً آهسته‌ای کاهش می‌یابد ولی با افزایش غلظت



شکل ۳- تصاویر میکروسکوپ الکترونی (SEM) از سطح پوشش‌های فسفاته در محلول‌های حاوی (الف) صفر (ب) ۲ gr/lit (ج) ۴ gr/lit (د) ۶ gr/lit و (ب) ۸ gr/lit نیترات نیکل در محلول.

جدول ۲- داده‌های بدست آمده از XRD که تغییرات شدت پیک ساختارهای مختلف با غلظت نیکل در محلول فسفاته کاری را نشان می‌دهد

شدت پیک (cps)			غلظت نیترات نیکل (g/l)
فاز فسفوفیلیت در $2\theta = 45^\circ$	فاز هوپیت در $2\theta = 32^\circ$	فاز فسفونیکولیت در $2\theta = 82^\circ$	
~۲۸	~۸/۹	۶/۳۴	۲
~۳۰	~۸/۹	۹/۸۴	۴
~۳۲	~۸/۹	۱۰/۷۱	۶
~۳۶	~۸	۱۳/۰۹	۸



شکل ۴- تصاویر به دست آمده از XRD مربوط به پوشش‌های فسفاته در محلول‌های حاوی (الف) ۲ gr/lit (ب) ۴ gr/lit (ج) ۶ gr/lit (د) ۸ gr/lit نیترات نیکل در محلول. در تمام نمونه‌ها زمان فسفاته کاری ۲۱۰ ثانیه و دمای فسفاته کاری ۵۵°C است.

مراجع

1. T.S.N. Sankara Narayanan, *Surface pretreatment by phosphate conversion Coatings, Review*. Adv. Material Science, 9 (2005) 130-177.
2. Harry R Charles, Thomas W. Cape and Donald L. Miles, *Phosphate coating composition and method of applying a zinc-nickel phosphate coating*, United States Patent, No.4,793,867, Dec. 27, 1988.
3. A. S. Akhtar, D. Susac, P. Glaze, K. C. Wong, P. C. Wong, and K. A. R. Mitchell, *The effect of Ni²⁺ on zinc phosphating of 2024-T3 Al alloy*, Surface & Coating Technology, 187 (2004) 208–215.

بیشتری ایجاد می شود؛ پس می توان گفت فسفونیکولیت باعث کاهش تخلخل ها در پوشش شده و مقدار تخلخل ها را به حد ایده‌آل نزدیک می کند. در حقیقت افزودن نیکل به محلول فسفاته کاری روی باعث افزایش جوانه زنی شده و همین امر باعث بهبود و ضعیت تخلخل ها در پوشش گردیده است و می توان گفت پوشش های فسفاته روی نیکل، تخلخل کمتری نسبت به پوشش های فسفاته روی دارند.

4. D. Zimmermann, A.G. Muñoz, and J.W. Schultze, *Formation of Zn-Ni alloys in the phosphating of Zn layers*, Surface and Coatings Technology, 197 (2005) 260-269.
5. G.D. Cheever, *Zinc phosphatation influence on the resistance to corrosion of a carbon based steel in marine medium*, Journal of Paint Technology, 41 (1969) 289.
6. J.B. Lakeman, D.R. Gabe and M.O.W. Richardson, *The physical properties of phosphate coatings and their correlation with potential/time measurements*, Trans. Inst. Metal Finishing, 55 (1977) 47.
7. T.S.N. Sankara Narayanan, *Influence of Various Factors on Phosphatability*, Metal Finishing, 94 (1996) 40-42.
8. V.C. Lins, G.A. Reis, C.R. Araujo and T. Matencio, *Electrochemical impedance spectroscopy and linear polarization applied to evaluation of porosity of phosphate conversion coatings on electrogalvanized steels*, Applied Surface Science, 253 (2006) 2875-2884.
9. J. Creus, H. Mazille, and H. Idrissi, *Porosity evaluation of protective coatings onto steel, through electrochemical techniques* Surface and Coating Technology, 130 (2000) 224.
10. J. Aromaa, H. Ronkainen, A. Mahiout, S.-P. Hannula, A. Leyland, A. Matthews, B. Matthes and E. Broszeit, *A comparative study of the corrosion performance of TiN, Ti(B,N) and (Ti,Al)N coatings produced by physical vapour deposition methods*, Materials Science and Engineering: A , 140 (1991) 722.